

Starkniederschlagshöhen und -spenden gemäß KOSTRA-DWD-2010R

Auswertungszeitraum von 1951 - 2010, Januar - Dezember

Rasterfeld: 38049

Zeile: 38

Spalte: 49

Seite: 1/2

| Dauerstufe D | | Wiederkehrzeit T | | | | | | | | | | | | | | | | | |
|--------------|-----|------------------|------------|------|------------|------|------------|------|------------|------|------------|------|------------|------|------------|------|------------|-------|------------|
| | | 1 a | | 2 a | | 3 a | | 5 a | | 10 a | | 20 a | | 30 a | | 50 a | | 100 a | |
| min | Std | mm | l / (s ha) | mm | l / (s ha) | mm | l / (s ha) | mm | l / (s ha) | mm | l / (s ha) | mm | l / (s ha) | mm | l / (s ha) | mm | l / (s ha) | mm | l / (s ha) |
| 5 | | 4,9 | 163,3 | 6,3 | 210,0 | 7,0 | 233,3 | 8,0 | 266,7 | 9,3 | 310,0 | 10,6 | 353,3 | 11,4 | 380,0 | 12,3 | 410,0 | 13,6 | 453,3 |
| 10 | | 7,7 | 128,3 | 9,6 | 160,0 | 10,6 | 176,7 | 12,0 | 200,0 | 13,8 | 230,0 | 15,7 | 261,7 | 16,7 | 278,3 | 18,1 | 301,7 | 19,9 | 331,7 |
| 15 | | 9,5 | 105,6 | 11,7 | 130,0 | 13,1 | 145,6 | 14,7 | 163,3 | 17,0 | 188,9 | 19,2 | 213,3 | 20,5 | 227,8 | 22,2 | 246,7 | 24,4 | 271,1 |
| 20 | | 10,7 | 89,2 | 13,3 | 110,8 | 14,8 | 123,3 | 16,7 | 139,2 | 19,3 | 160,8 | 21,9 | 182,5 | 23,4 | 195,0 | 25,3 | 210,8 | 27,9 | 232,5 |
| 30 | | 12,3 | 68,3 | 15,5 | 86,1 | 17,3 | 96,1 | 19,7 | 109,4 | 22,8 | 126,7 | 26,0 | 144,4 | 27,8 | 154,4 | 30,1 | 167,2 | 33,3 | 185,0 |
| 45 | | 13,7 | 50,7 | 17,5 | 64,8 | 19,8 | 73,3 | 22,6 | 83,7 | 26,5 | 98,1 | 30,3 | 112,2 | 32,6 | 120,7 | 35,4 | 131,1 | 39,2 | 145,2 |
| 60 | | 14,5 | 40,3 | 18,9 | 52,5 | 21,5 | 59,7 | 24,8 | 68,9 | 29,2 | 81,1 | 33,6 | 93,3 | 36,2 | 100,6 | 39,5 | 109,7 | 43,9 | 121,9 |
| 90 | | 15,9 | 29,4 | 20,7 | 38,3 | 23,5 | 43,5 | 27,0 | 50,0 | 31,8 | 58,9 | 36,7 | 68,0 | 39,5 | 73,1 | 43,0 | 79,6 | 47,8 | 88,5 |
| 120 | 2 | 16,9 | 23,5 | 22,0 | 30,6 | 25,0 | 34,7 | 28,8 | 40,0 | 33,9 | 47,1 | 39,0 | 54,2 | 42,0 | 58,3 | 45,7 | 63,5 | 50,8 | 70,6 |
| 180 | 3 | 18,5 | 17,1 | 24,0 | 22,2 | 27,3 | 25,3 | 31,4 | 29,1 | 36,9 | 34,2 | 42,5 | 39,4 | 45,7 | 42,3 | 49,8 | 46,1 | 55,4 | 51,3 |
| 240 | 4 | 19,7 | 13,7 | 25,6 | 17,8 | 29,0 | 20,1 | 33,4 | 23,2 | 39,3 | 27,3 | 45,2 | 31,4 | 48,6 | 33,8 | 53,0 | 36,8 | 58,9 | 40,9 |
| 360 | 6 | 21,6 | 10,0 | 28,0 | 13,0 | 31,7 | 14,7 | 36,4 | 16,9 | 42,8 | 19,8 | 49,3 | 22,8 | 53,0 | 24,5 | 57,7 | 26,7 | 64,1 | 29,7 |
| 540 | 9 | 23,6 | 7,3 | 30,6 | 9,4 | 34,6 | 10,7 | 39,8 | 12,3 | 46,7 | 14,4 | 53,7 | 16,6 | 57,8 | 17,8 | 62,9 | 19,4 | 69,9 | 21,6 |
| 720 | 12 | 25,1 | 5,8 | 32,5 | 7,5 | 36,9 | 8,5 | 42,3 | 9,8 | 49,7 | 11,5 | 57,1 | 13,2 | 61,4 | 14,2 | 66,9 | 15,5 | 74,3 | 17,2 |
| 1080 | 18 | 27,5 | 4,2 | 35,5 | 5,5 | 40,2 | 6,2 | 46,2 | 7,1 | 54,2 | 8,4 | 62,2 | 9,6 | 67,0 | 10,3 | 72,9 | 11,3 | 80,9 | 12,5 |
| 1440 | 24 | 29,3 | 3,4 | 37,8 | 4,4 | 42,8 | 5,0 | 49,1 | 5,7 | 57,6 | 6,7 | 66,2 | 7,7 | 71,2 | 8,2 | 77,5 | 9,0 | 86,0 | 10,0 |
| 2880 | 48 | 34,8 | 2,0 | 44,3 | 2,6 | 49,9 | 2,9 | 56,9 | 3,3 | 66,5 | 3,8 | 76,1 | 4,4 | 81,7 | 4,7 | 88,7 | 5,1 | 98,3 | 5,7 |
| 4320 | 72 | 38,4 | 1,5 | 48,6 | 1,9 | 54,5 | 2,1 | 62,0 | 2,4 | 72,1 | 2,8 | 82,3 | 3,2 | 88,3 | 3,4 | 95,7 | 3,7 | 105,9 | 4,1 |

Angaben in mm: Bemessungsniederschlagswerte h(n)

Angaben in l / (s ha): Regenspende R(n) mit $R(n) = h(n) \times 1,666667 / D[\text{min}]$

Toleranzbereiche:

+/- 10 % für $1 \text{ a} \leq T \leq 5 \text{ a}$

+/- 15 % für $5 \text{ a} < T \leq 50 \text{ a}$

+/- 20 % für $50 \text{ a} < T \leq 100 \text{ a}$

Datenbasis: KOSTRA-DWD-2010R des Deutschen Wetterdienstes. Die Regenspende wurde auf Basis des Bemessungsniederschlags zur jeweiligen Andauer berechnet.

Für die Richtigkeit und Aktualität der Angaben wird keine Gewähr übernommen. Erstellt 07/2022.

Starkniederschlagshöhen und -spenden gemäß KOSTRA-DWD-2010R

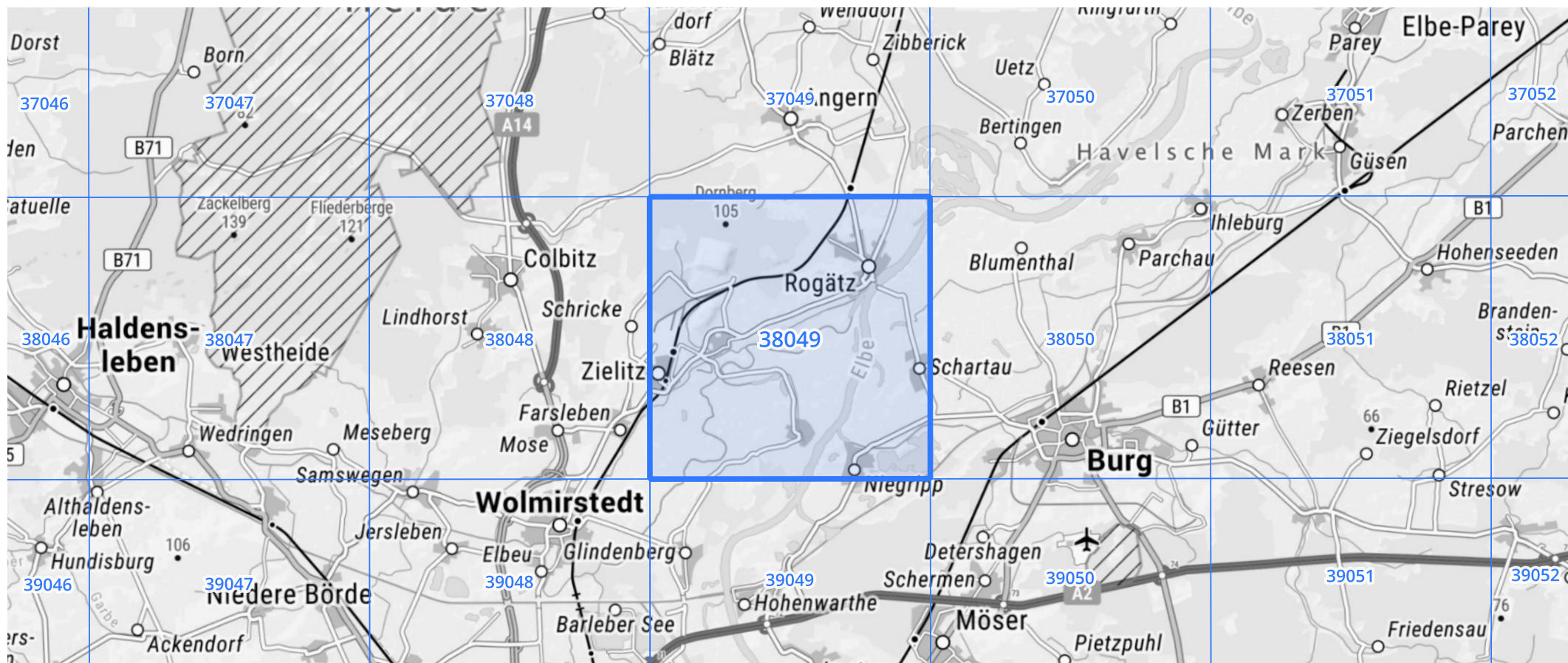
Auswertungszeitraum von 1951 - 2010, Januar - Dezember

Rasterfeld: 38049

Zeile: 38

Spalte: 49

Seite: 2/2



Quelle Rasterdaten: KOSTRA-DWD-2010R des Deutschen Wetterdienstes.

Kartendarstellung: © Bundesamt für Kartographie und Geodäsie (2022), Datenquellen: https://sgx.geodatenzentrum.de/web_public/gdz/datenquellen/Datenquellen_TopPlusOpen.html

Für die Richtigkeit und Aktualität der Angaben wird keine Gewähr übernommen. Erstellt 07/2022.